

## 1. Численно показать, что решение задачи

$$\frac{\partial u}{\partial t} = \frac{\partial}{\partial x} \left[ a u^\alpha \frac{\partial u}{\partial x} \right], \quad \alpha > 0,$$

$$u(\infty, t) = 0, u(0, t) = c t^{\alpha-1}, u(x, 0) = 0 \quad (1)$$

представляет собой бегущую волну, распространяющуюся с конечной скоростью, при  $\alpha \geq 0$  на фронте решение терпит разрыв первой производной (обобщенное решение). Сравните численное решение с точным:

$$u(t, x) = \left[ \frac{\alpha v}{a} (x - vt) \right]^{\alpha-1}, \quad (2)$$

$v = a c^\alpha / \alpha$ . Положите :  $\alpha = 1; 3/2; 2; a = 0,1; 1; 10$ .

Используйте схему вида:

$$\frac{u_m^{n+1} - u_m^n}{\tau} = \frac{1}{h} \left( k_{m+1/2} \frac{u_{m+1}^{n+1} - u_m^{n+1}}{h} - k_{m+1/2} \frac{u_m^{n+1} - u_{m-1}^{n+1}}{h} \right); \quad (3)$$

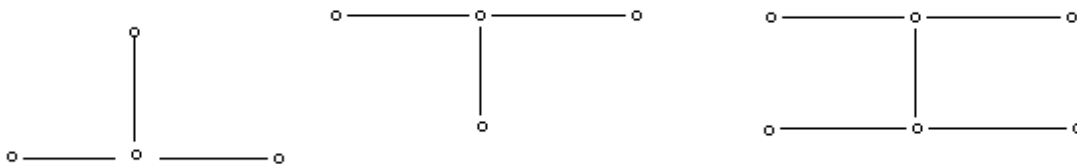
проверьте численно, какой из вариантов вычисления  $k$  предпочтительнее:

$$\begin{aligned} \text{a). } k_{m+1/2} &= \frac{a}{2} \left[ (u_m^n)^\alpha + (u_{m+1}^n)^\alpha \right] \\ \text{b). } k_{m+1/2} &= a \left( \frac{u_m^n + u_{m+1}^n}{2} \right)^\alpha \\ \text{c). } k_{m+1/2} &= \frac{a}{2} \left( \frac{2u_m^n u_{m+1}^n}{u_m^n + u_{m+1}^n} \right)^\alpha \\ \text{d). } k_{m+1/2} &= a \frac{2(u_m^n)^\alpha (u_{m+1}^n)^\alpha}{(u_m^n)^\alpha + (u_{m+1}^n)^\alpha} ? \end{aligned} \quad (4)$$

- постройте профили  $u(x)$  по времени

$u(t, x)$  – температура внутри сверхновой звезды при взрыве, который инициирует т.н. тепловую волну);

- положив  $k = \text{const} = 1$ , рассмотрите численное решение, полученное при помощи разностных схем с шаблонами:



## 2. Получите численное решение уравнения теплопроводности

$$\frac{\partial u}{\partial t} = \frac{\partial^2 u}{\partial x^2} + \frac{\partial^2 u}{\partial y^2}, 0 \leq x \leq L, 0 \leq y \leq L \quad (1)$$

$$u(0, x, y) = 0; u(t, 0, y) = 0; u(t, L, y) = 1; u(t, x, 0) = 2;$$

$u(t, x, L) = 3$ , используя разностные схемы расщепления :

$$a). \frac{\tilde{u}_{ml} - u_{ml}^n}{\tau} = A_1 \tilde{u}_{ml}, \quad \frac{u_{ml}^{n+1} - \tilde{u}_{ml}}{\tau} = A_2 u_{ml}^{n+1} \quad (2)$$

$$b). \begin{cases} \frac{u_{ml}^{n+1/2} - u_{ml}^n}{\tau} = A_1 [\xi u_{ml}^{n+1/2} + (1-\xi) u_{ml}^n], \\ \frac{u_{ml}^{n+1/2} - u_{ml}^{n+1/2}}{\tau} = A_2 [\xi u_{ml}^{n+1} + (1-\xi) u_{ml}^{n+1/2}], \xi = 1/2 \end{cases} \quad (3)$$

$$c). \begin{cases} \frac{\tilde{u}_{ml} - u_{ml}^n}{\tau} = \frac{1}{2} (A_1 \tilde{u}_{ml} + A_2 u_{ml}^n), \\ \frac{u_{ml}^{n+1/2} - u_{ml}^{n+1/2}}{\tau} = \frac{1}{2} (A_1 \tilde{u}_{ml} + A_2 u_{ml}^{n+1}) \end{cases} \quad (4)$$

$$d). \frac{\tilde{u}_{ml} - u_{ml}^n}{\tau} = A_1 u_{ml}^n, \quad \frac{u_{ml}^{n+1} - \tilde{u}_{ml}}{\tau} = A_2 \tilde{u}_{ml} \quad (5)$$

$$A_1 u_{ml}^{n+1} = \frac{u_{m-1,l}^{n+1} - 2u_{m,l}^{n+1} + u_{m+1,l}^{n+1}}{h_x^2}; A_2 = \frac{u_{m,l-1}^{n+1} - 2u_{m,l}^{n+1} + u_{m,l+1}^{n+1}}{h_y^2},$$

$h_x, h_y$  – шаги по  $x, y$ .

- сравните их (по  $u$  в нескольких точках);

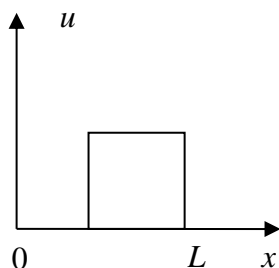
- исследуйте сходимость численного решения по сетке.

**3.** Сравнить численные решения, полученные по разностным схемам Лакса, Куранта–Изаксона–Риса, Лакса–Вендорффа, Уорминга–Кутлера–Ломакса для уравнения переноса в недивергентной и дивергентной формах:

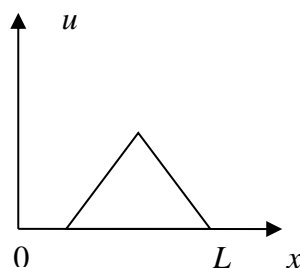
$$\frac{\partial u}{\partial t} + u \frac{\partial u}{\partial x} = 0$$

$$\frac{\partial u}{\partial t} + u \frac{\partial u^2}{\partial x} = 0.$$

Начальные профили:



$$0 \leq x \leq X,$$



$$0 \leq t \leq T$$

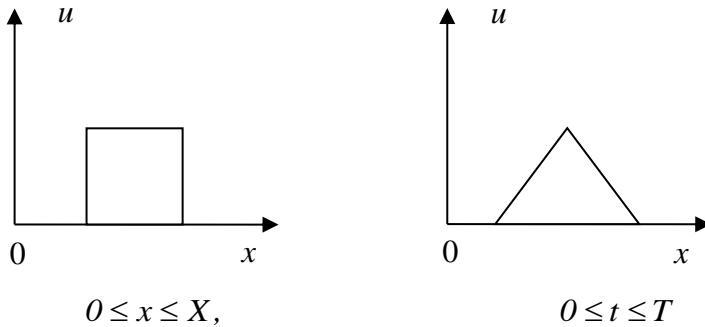
Исследовать сходимость численных решений по сетке (при  $k \rightarrow 0$ ).

**4.** Сравнить численные решения, полученные по разностным схемам:

-Куранта–Изаксона–Риса,  
 -Мак–Кормака,  
 -гибридной схеме Федоренко,  
 -схеме TVD,  
 -для линейного одномерного уравнения переноса:

$$\frac{\partial u}{\partial t} + c \frac{\partial u}{\partial x} = 0.$$

Начальные профили:



Исследовать сходимость численных решений по сетке (при  $k \rightarrow 0$ ).

**5.** Рассматривается среда, находящаяся в начальный момент времени в жидком состоянии при температуре  $T(x,0) > T_p$  ( $T_p$  – температура плавления). Поверхность среды при  $x=0$  поддерживается при  $T(0,t) < T_p$ , и при  $x=1$ :  $T(1,t) > T_p$ . В предположении, что плотность среды не изменится при фазовом превращении, процесс затвердевания описывается следующими уравнениями:

$$\begin{cases} \rho c_s \frac{\partial T}{\partial t} = a_s \frac{\partial^2 T}{\partial x^2}, 0 \leq x \leq y(t) \\ \rho c_f \frac{\partial T}{\partial t} = a_f \frac{\partial^2 T}{\partial x^2}, y(t) \leq x \leq 1, \end{cases} \quad (1)$$

где  $y(t)$  – положение фазового фронта, индексы  $s$  и  $f$  относятся к твердой и жидкой фазам. (1) дополняется начальными и граничными условиями, а также условиями на фазовом фронте:

$$\begin{cases} u(x,0) = g(x), 0 \leq x \leq 1; u(0,t) = f_1(t); u(1,t) = f_2(t); \\ a_s \frac{\partial T}{\partial x}(y-0) - a_f \frac{\partial T}{\partial x}(y+0) = \rho L \frac{\partial y}{\partial t} \end{cases} \quad (2)$$

(условие баланса энергии при движении фазового фронта).

Примем (вода–лед):  $x=0$  (поверхность водоема),  $x=L=1$ м (дно водоема);  $g(x)=7x/L+273^\circ K$ ;

$f_1(t) = \left\{ 273 - 13 \left[ 1 - e^{-10^4 t} \right] \right\}^\circ K$ ,  $f_2(t) = 280^\circ K$ ;  $l = 1$ м;  $\rho = 10^3$  кг / м<sup>3</sup>; теплоемкость : вода - 4200,

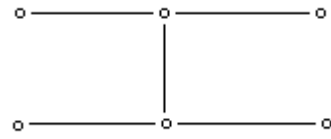
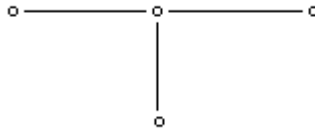
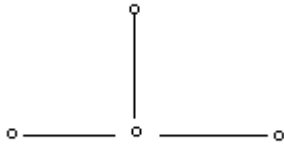
лед - 2100  $\left( \frac{\text{Дж}}{\text{кг} \cdot \text{К}} \right)$ ; коэффициент теплопроводности: : вода - 0,56, лед - 2,25  $\left( \frac{\text{Вт}}{\text{м} \cdot \text{К}} \right)$ ,

коэффициент температуропроводности: вода –  $1,33 \cdot 10^{-7}$ , лед –  $1,08 \cdot 10^{-6}$ , (м<sup>2</sup>/с),

удельная теплота плавления:  $3,3 \cdot 10^5 \left( \frac{\text{Дж}}{\text{кг}} \right)$ , температура плавления  $273^\circ K$ .

- рассчитайте профили  $T(x)$  в различные моменты времени; представьте в виде графиков.

- рассчитайте и представьте в виде графика положение фронта фазового перехода.
- используйте три разностных схемы:



Исследуйте сходимость численного решения по сетке.

**6.** Основное уравнение математической экологии – уравнение Бюргерса, описывающее перенос и диффузию загрязнений (в воде или воздухе), линеаризованный вариант которого имеет вид;

$$\begin{aligned} \frac{\partial u}{\partial t} + c \frac{\partial u}{\partial x} &= \mu \frac{\partial^2 u}{\partial x^2}, \\ u(0, t) &= U \\ u(L, t) &= 0, \\ u(x, 0) &= 0. \end{aligned} \quad (1)$$

Здесь  $u$  – концентрация некоего вещества,  $\mu$  – коэффициент диффузии,  $\{t, x\}$  – независимые переменные,  $c = \text{const}$  – постоянная скорость потока (например, реки).

- предложите явную и неявную схему для численного решения (1) и получите численное решение;
- представьте результаты в виде профилей  $u(x)$  в различные моменты времени;
- исследуйте поведение численного решения в зависимости от  $\mu$  ( $\mu = 1; 0,5; 0,01; 0,0001$ ) и  $c$  ( $c = 1; c = 0,1; c = 0,01; c = 0,0001$ ),  $L = 1$ ;
- исследуйте схемы на сходимость по сетке, т.е. при  $h \rightarrow 0$ .  
 $x \in [0, 10]; t \in [0, T]$ ;
- точное стационарное решение (1)  
(т.е.  $u_{\text{ст}} = \lim_{t \rightarrow \infty} u(x, t)$ ) есть:

$$u = u_0 \left\{ \frac{1 - \exp \left[ R \left( \frac{x}{L} - 1 \right) \right]}{1 - \exp(-R)} \right\}, \quad (2)$$

где  $R = cL / \mu$ .

Точное нестационарное решение (1) имеет вид (при  $u(x, 0) = \sin kx$  и периодических граничных условиях):

$$u(x, t) = \exp(-k^2 \mu t) \sin k(x - ct). \quad (3)$$

Проверить (численно) формулы (2) и (3).

7. Для описания распространения акустических волн в несжимаемой среде можно использовать т.н. акустическую систему:

$$\frac{\partial \bar{w}}{\partial t} + A \frac{\partial \bar{w}}{\partial x} = 0, x \in [0, L], t \in [0, T],$$

$$\bar{w} = \begin{Bmatrix} u \\ p \end{Bmatrix}; A = \begin{Bmatrix} u & \rho^{-1} \\ \rho c^2 & 0 \end{Bmatrix}; \quad (1)$$

или :

$$\frac{\partial u}{\partial t} + \frac{1}{\rho} \frac{\partial p}{\partial x} = 0 \quad (1a)$$

$$\frac{\partial p}{\partial t} + \rho c^2 \frac{\partial u}{\partial x} = 0$$

где  $u$  – скорость частиц среды,  $p$  – давление,  $\rho$  – плотность среды,  $c$  – скорость звука,  $A$  – матрица  $2 \times 2$ . (1) дополняется начальными и граничными условиями:

$$\begin{aligned} u(x, 0) &= q_1(x), p(x, 0) = q_2(x); \\ \alpha_1 u(0, t) + \beta_1 p(0, t) &= f_1(t) \\ \alpha_2 u(l, t) + \beta_2 p(l, t) &= f_2(t) \end{aligned} \quad (2)$$

а). Введя разностную сетку с шагами  $\tau, h$  используем для аппроксимации (1), (2) схему Лакса – Вендроффа ( $\sigma = ch / \tau; T = n\tau, L = mh$ ):

$$\begin{cases} u_m^{n+1} = u_m^n - \frac{\sigma}{2\rho c} (p_{m+1}^n - p_{m-1}^n) + \frac{\sigma^2}{2} (u_{m+1}^n - 2u_m^n + u_{m-1}^n) \\ p_m^{n+1} = p_m^n - \frac{\sigma}{2} \rho c (u_{m+1}^n - u_{m-1}^n) + \frac{\sigma^2}{2} (p_{m+1}^n - 2p_m^n + p_{m-1}^n), \end{cases} \quad (3)$$

или, в векторной форме:

$$\bar{w}^n = \bar{w}^n - \frac{\sigma}{2} A (\bar{w}_{m+1}^n - \bar{w}_{m-1}^n) + \frac{\sigma^2}{2} A^2 (\bar{w}_{m+1}^n - 2\bar{w}_m^n + \bar{w}_{m-1}^n) \quad (4)$$

б). Инварианты Римана. Умножим первое уравнение в (1) на  $c\rho$ , сложим полученные уравнения и вычтем первое из второго, получим:

$$\begin{cases} \frac{\partial}{\partial t} (p + c\rho u) + c \frac{\partial}{\partial x} (p + c\rho u) = 0 \\ \frac{\partial}{\partial t} (p - c\rho u) - c \frac{\partial}{\partial x} (p - c\rho u) = 0, \end{cases} \quad (2)$$

или, обозначив

$$R = p + c\rho u, S = p - c\rho u \text{ (соответственно; } u = \frac{R-S}{2\rho c}, p = \frac{R+S}{2} \text{)}:$$

$$\frac{\partial R}{\partial t} + c \frac{\partial S}{\partial x} = 0, \frac{\partial S}{\partial t} - \frac{\partial R}{\partial x} = 0; \quad (3)$$

$R$  и  $S$  называются инвариантами Римана; (3) – уравнение в инвариантах Римана. Решение (3) можно записать в виде:

$$R(x, t) = R(x - ct), S(x, t) = S(x + ct), \quad (4)$$

т.е.  $R$  и  $S$  сохраняются вдоль характеристик  $dx/dt = c$  ( $R = \text{const}$  при  $x - ct = \text{const}$ ), соответственно.

- получите численные решения (1) по схеме Лакса–Вендроффа.
- получите численное решение (2) по схеме Рунге (или “Кабаре”):

$$\begin{cases} \frac{1}{2} \left( \frac{R_m^{n+1} - R_m^n}{\tau} + \frac{R_{m-1}^n - R_{m-1}^{n-1}}{\tau} \right) + c \frac{R_m^n - R_{m-1}^n}{h} = 0 \\ \frac{1}{2} \left( \frac{S_m^{n+1} - S_m^n}{\tau} + \frac{S_{m+1}^n - S_{m+1}^{n-1}}{\tau} \right) - c \frac{S_{m+1}^n - S_m^n}{h} = 0, \end{cases}$$

$$R_m^n = p_m^n + c\rho \cdot u_m^n, \quad S_m^n = p_m^n - c\rho \cdot u_m^n, \quad u_m^n = \frac{R_m^n - S_m^n}{2\rho c}, \quad p_m^n = \frac{R_m^n + S_m^n}{2},$$

предварительно, получив соответствующие (5) начальные и граничные условия.

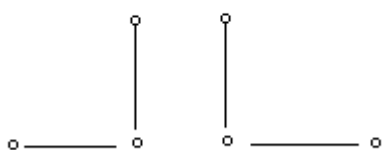
- получите численное решение задачи распада разрыва

$$u(x,0) = \begin{cases} u_1, & x \leq 0 \\ u_2, & x > 0, \quad u_2 > u_1 > 0. \end{cases}$$

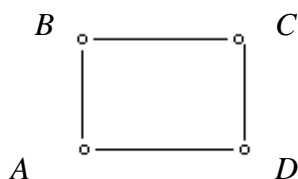
$$p(x,0) = \begin{cases} p_1, & x \leq 0 \\ p_2, & x > 0; \end{cases} \quad u_2(x,0) = 2; \quad u_1(x,0) = 1;$$

$$p_2(x,0) = \rho c u_2, \quad p_1(x,0) = \rho c u_1.$$

- сравните эти решения, представив профили  $u(x)$  и  $p(x)$  в различные моменты  $t$ ;
  - покажите сходимость численных решений, полученных по обеим схемам, по сетке (т.е. при  $\tau \rightarrow 0$ ).
  - получите численное решение (5) с помощью схемы Куранта – Иаксона – Рунге;
- соответствующий шаблон:



**8.** Рассмотрим задачу о нагревании балки квадратного сечения и бесконечной по одной оси координат ( $Oz$ ).



Пусть температура грани  $AB, BC, CD, DA$  поддерживается постоянной: 1 на  $AB$ , 2 на  $BC$ , 3 на  $CD$  и 4 на  $DA$  (температура приведена в относительных единицах;  $T_* = 100^\circ \text{C}$ ). Размер грани  $L = 0,1 \text{ м}$ .

Получите численное решение стационарной задачи теплопроводности

$$\frac{\partial^2 u}{\partial x^2} + \frac{\partial^2 u}{\partial y^2} = 0 \quad (1)$$

с приведенными граничными условиями, используя итерационные методы:

а). Якоби:

$$\frac{u_{m-1,l}^{i+1} - 2u_{ml}^{i+1} + u_{m+1,l}^{i+1}}{h_x^2} + \frac{u_{m,l-1}^{i+1} - 2u_{ml}^{i+1} + u_{m,l+1}^{i+1}}{h_y^2} = f_{m,l}, \quad (2)$$

$mh_x = L, lh_y = L (h_x, h_y - \text{шаги по координатам } x, y)$

б). Зейделя:

$$\frac{u_{m-1,l}^{i+1} - 2u_{ml}^{i+1} + u_{m+1,l}^{i+1}}{h_x^2} + \frac{u_{m,l-1}^{i+1} - 2u_{ml}^{i+1} + u_{m,l+1}^{i+1}}{h_y^2} = f_{m,l} \quad (3)$$

с). верхней релаксации ( $h_x = h_y$ )

$$\frac{u_{m-1,l}^{i+1} + u_{m,l-1}^{i+1}}{h^2} + \frac{u_{m+1,l}^i + u_{m,l+1}^i}{h^2} = -\frac{4}{p^2} \left[ \frac{u_{m,l}^i}{\tau} + \left( 1 - \frac{1}{\tau} \right) u_{m,l}^i \right] = f_{ml} \quad (4)$$

- сравните эти методы по скорости сходимости (численно и теоретически);
- проверьте сходимость численного решения по сетке (т.е. при  $h_x, h_y \rightarrow 0$ );
- исследуйте численно скорость сходимости (4) от величины итерационного параметра  $\tau$ ;
- результаты численного решения представьте в виде изолиний  $T(x,y)=const$  и в виде одномерных графиков  $T(x)$  при разных значениях  $y$  и  $T(y)$  при разных значениях  $x$ .

**9.** Получите численное решение одномерного линейного и нелинейного уравнений переноса (в дивергентной и недивергентной формах):

$$\frac{\partial u}{\partial t} + a \frac{\partial u}{\partial x} = 0, a = const; \quad (1)$$

$$\frac{\partial u}{\partial t} + u \frac{\partial u}{\partial x} = 0 \quad (2)$$

$$\frac{\partial u}{\partial t} + \frac{\partial u^2}{\partial x} = 0; \quad (3)$$

$$t \in [0, T], x \in [-X, X];$$

$$u(0, x) = \begin{cases} u_1, & x > 0 \\ u_2, & x \leq 0; \end{cases}$$

$$T = 100; X = 10; a = 1; N\tau = T, Mh = 2X, M = 10^3, (\tau, h - \text{шаги по времени и координате})$$

с помощью разностных схем:

- Куранта–Изаксона–Риса
- Лакса–Вендроффа
- гибридной схемы Федоренко
- схемы Хартена (TVD)
- метода коррекции потоков Бориса–Брука
- схемы Колагана

-ENO-схемы.

Сравните численные решения, полученные по разным схемам, исследуйте численные решения на сходимость.

**10.** Получите численное решение одномерной задачи о распаде разрыва в идеальном газе, используя систему нестационарных уравнений газодинамики

$$\frac{\partial \bar{U}}{\partial t} + a \frac{\partial \bar{U}}{\partial x} = 0 \quad (1)$$

$$U = \{\rho, u, \varepsilon\}^T, A = \begin{Bmatrix} u & \rho & 0 \\ \frac{1}{\rho} \frac{\partial p}{\partial \rho} & u & \frac{1}{\rho} \frac{\partial p}{\partial \varepsilon} \\ 0 & p/\rho & u \end{Bmatrix},$$

где  $\rho$  - плотность,  $u$  - скорость газа,  $\varepsilon$  - удельная внутренняя энергия газа,  $\{t, x\}$  - независимые координаты;  $\rho(0, x) = \rho_0, u(0, x) = 0, \varepsilon(x, 0) = \varepsilon_0$ ; уравнение состояния:

$$\rho - \rho \varepsilon (\gamma - 1) = 0, \gamma = 1.4;$$

$$\rho(0, x) = \begin{cases} \rho_1, & x \leq 0 \\ \rho_2, & x > 0, \end{cases}$$

$$t \in [0, T]; x \in [-X, X]; N_r = T, Mh = 2X,$$

$$M = 20, 100, 1000.$$

Использовать сеточно-характеристический метод ( $\sigma = \tau / h$ ):

$$\bar{U}_m^{n+1} = \bar{U}_m^n - \sigma \left[ (\Omega^{-1} \Lambda^+ \Omega)_m^n (\bar{U}_{m-1}^n - \bar{U}_m^n) - (\Omega^{-1} \Lambda^- \Omega)_m^n (\bar{U}_m^n - \bar{U}_{m+1}^n) \right] \quad (2)$$

$$\text{Здесь: } \Lambda^\pm = \frac{1}{2} (\Lambda \pm |\Lambda|), \Lambda - \text{диагональная матрица: } \Lambda = \text{diag}(\lambda_1, \lambda_2, \lambda_3). \lambda_1 = u + c, \lambda_2 = u, \lambda_3 = u - c$$

являются собственными числами матрицы  $\Lambda$ ,

$$\Omega = \begin{Bmatrix} \frac{\partial p}{\partial \rho} & \rho c & \frac{\partial p}{\partial \varepsilon} \\ p & 0 & -\rho^2 \\ p & -\rho c & \frac{\partial p}{\partial \rho} \end{Bmatrix} = \begin{Bmatrix} \bar{\omega}_1 \\ \bar{\omega}_2 \\ \bar{\omega}_3 \end{Bmatrix} -$$

матрица, строками которой являются соответствующие собственные векторы  $\Lambda$  (причем:  $\Lambda = \Omega^{-1} \Lambda \Omega$ ), находимые из соотношения  $\omega_i \Lambda = \lambda_i \omega_i$ .

Исследуйте численное решение на сходимость.

**11.** Одна из постановок задачи взаимодействия лазерного излучения с веществом имеет вид (задача физики горения,  $u$  - температура):

$$\frac{\partial u}{\partial t} = \frac{1}{r} \cdot \frac{\partial}{\partial r} \left( r \frac{\partial u}{\partial r} \right) + \frac{\partial^2 u}{\partial z^2}, r \geq 0, z \geq 0. \quad (1)$$



$$-\frac{\partial u}{\partial z} = I(r) + e^{\left(-\frac{1}{u}\right)} - \eta u; r \geq 0, z \geq 0;$$

$$u(r, z, 0) = u_0(r, z) \geq 0, u \rightarrow 0 \text{ при } \sqrt{r^2 + z^2} \rightarrow \infty.$$

$e^{\left(-\frac{1}{u}\right)}$  - описывает энерговыделение реакции на поверхности образца,  $(-\eta u)$  – теплопотери,

$$I(r) = I_0 e^{\left(-\frac{r^2}{r_0^2}\right)}, \quad r_0 = 2 \text{ мм.}$$

- получите численное решение задачи (1) с помощью локально-одномерной разностной схемы;
- исследуйте распределение температуры  $u$  по  $r$  и  $z$  в различные моменты времени;
- покажите сходимость решение по сетке (т.е. при  $h_x \rightarrow 0, h_y \rightarrow 0$ );
- получите численное решение (1) при помощи явной разностной схемы. Какой шаг по времени необходимо для этого выбрать?

Исследуйте поведение рассматриваемой среды в зависимости от параметра  $\eta$ .

**12.** Уравнение, описывающее как конвективные, так и диффузионные процессы, называется уравнением Бюргера:

$$\frac{\partial u}{\partial t} + u \frac{\partial u}{\partial x} = \mu \frac{\partial^2 u}{\partial x^2}, \mu = \text{const} > 0 \quad (1)$$

Зададим начальные данные в следующем виде:

$$u(x, 0) = \begin{cases} u_1, & x < x_0 \\ u_2, & x > x_0, x_0 = 0 \end{cases} \quad (2)$$

$u_1 < u_2$ ;  $t, x$  – независимые переменные (положим:  $u_1 = 1, u_2 = 0; x \in [-10, 10], t \in [0, T]$ ).

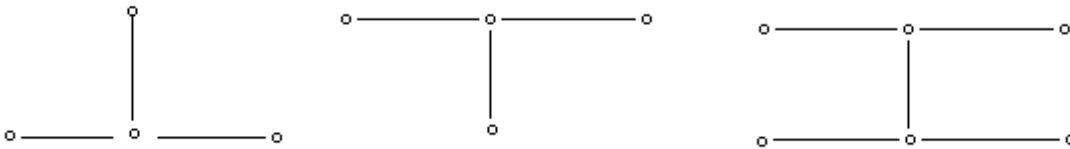
Точное решение (1) имеет вид:

$$u(x, t) = u_2 + \frac{u_1 - u_2}{1 + g(x, t) \exp \left\{ \frac{u_1 - u_2}{2\mu} (x - x_0 - Dt) \right\}}, \quad (3)$$

$$q(x, t) = \int_{\frac{-(x-x_0-u_2t)}{\sqrt{4\mu t}}}^{\infty} e^{-\xi^2} d\xi / \int_{\frac{(x-x_0-u_1t)}{\sqrt{4\mu t}}}^{\infty} e^{-\xi^2} d\xi,$$

$$D = \frac{u_1 + u_2}{2}.$$

- получить численное решение (1), (2) при  $\mu = 0 \div 1, 0$ . Есть ли что-нибудь общее во всех решениях при разных  $\mu$  (“центр сглаженных ударных волн”)?
- используйте для численного решения (1) схемы с шаблонами:

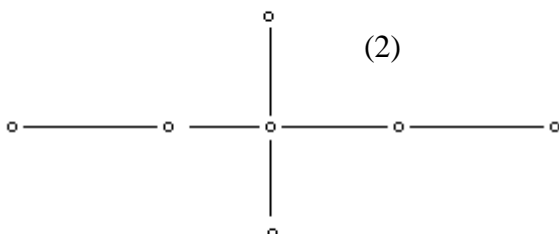


- проверьте сходимость численного решения по сетке (при  $h \rightarrow 0$ ) и сравните с (3).

**13.** Для численного решения уравнения Кортевега–Де–Фриза (КДФ)

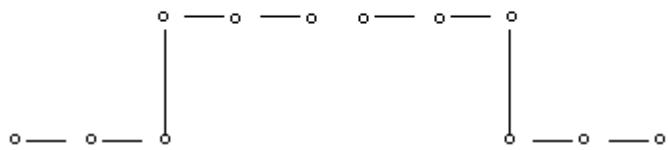
$$u_t - 6uu'_x + u'''_x = 0, t > 0, x \in [-10, 10], \quad (1)$$

(на границах области интегрирования условия периодичности) рассмотрите две разностные схемы с шаблонами (вторая – аналог схемы Саульева для уравнения теплопроводности):

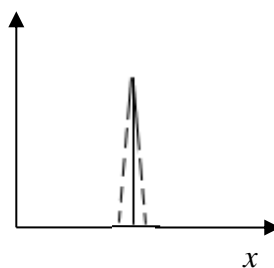
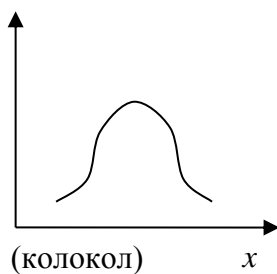
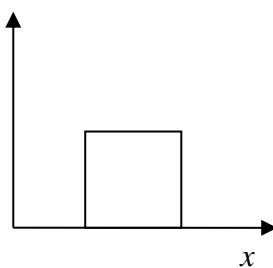
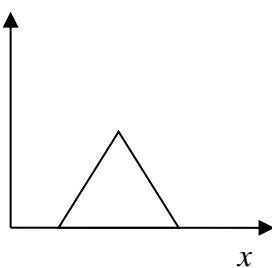


(2)

(3)



- сравните численные решения, полученные по обеим схемам;
- покажите сходимость по сетке (при  $h \rightarrow 0$ );
- рассмотрите начальные условия вида:



Как изменится численное решение, если к явлению конвекции и дисперсии, описываемых уравнением КДФ, добавиться диссипация

$$u_t - buu'_x + u''_x = \mu u''_x, \mu = 10^{-4} \div 1? \quad (4)$$

(показать расчетом по одной из схем (2), (3)).

Уравнение (1) имеет бесконечное число законов сохранения:

$$\int_{\Omega} u dx = C_1 \quad (5)$$

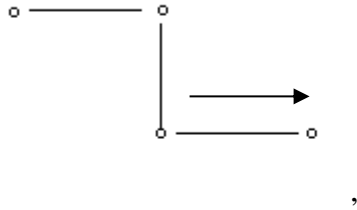
$$\int_{\Omega} u^2 dx = C_2 \quad (6)$$

$$\int_{\Omega} \left[ \frac{(u'_x)^2}{2} + u^3 \right] dx = C_3 \quad (7)$$

-----  
Проверить любой из них.

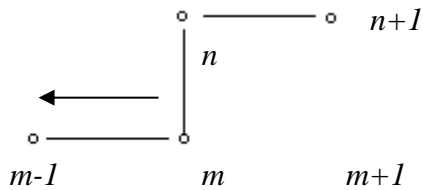
Комментарий. Организация счета по схеме Саульева: на четных слоях счет идет слева направо по формулам:

$$\frac{u_m^{n+1} - u_m^n}{\tau} = \frac{1}{k^2} (u_{m-1}^{n+1} - u_m^{n+1} + u_m^n + u_{m+1}^n) \quad (8)$$



на нечетных – справа налево:

$$\frac{u_m^{n+1} - u_m^n}{\tau} = \frac{1}{k^2} (u_{m-1}^{n+1} - u_m^{n+1} - u_m^n + u_{m+1}^n) \quad (9)$$



времени).

**14.** Некоторые процессы в плазме, в биосистемах и в химических реакциях описываются нелинейным уравнением теплопроводности вида:

$$\frac{\partial T}{\partial t} = \frac{\partial}{\partial x} \left[ k(T) \frac{\partial T}{\partial x} \right] + Q(t), \quad (1)$$

где  $T(t, x)$  – температура среды,  $\{t, x\}$  – независимые переменные,  $k(T)$  – нелинейный коэффициент теплопроводности,  $Q(t)$  – нелинейная функция (например, моделирующая процессы горения, детонации); обычно:

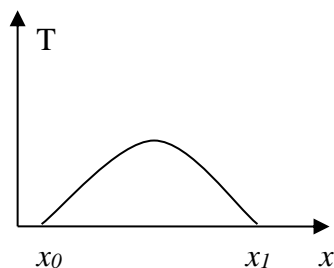
$k(T) = k_0 T^\alpha$ ;  $Q(T) = q_0 T^\beta$ ,  $k_0, q_0, \alpha > 0, \beta > 1$ . При  $\beta > \alpha + 1$  реализуется т.н.

LS-режим с обострением, при  $\beta < \alpha + 1$  – HS-режим с неограниченным ростом

температуры, при  $\beta = (\alpha + 1) - S$  – режим (полуширина профиля температуры постоянна).

При  $\beta > \alpha + 1$  полуширина профиля сокращается, процесс локализуется, формируется т.н.

диссипативная структура, при  $\beta < \alpha + 1$  наблюдаются тепловые волны, амплитуда которых растет. Профиль задается в виде:



- проверьте эти выводы численно, используя неявную схему. Положите:

$$\{k_0 = 1, q_0 = 1, q_0 = 1; \beta = 3, \alpha = 2\}; \{k_0 = 1, q_0 = 1; \beta = 3, 18; 1,667; \alpha = 2\}.$$

- проверьте сходимость численных решений по сетке (т.е. при  $h \rightarrow 0, h$  – шаг по координате);

- выведите профили  $T(x)$  в различные моменты времени.

15. Нелинейное уравнение теплопроводности способно описывать распространение тепловых волн, волн горения и т.п. Рассмотрим следующие уравнения.

1. Уравнение Колмогорова–Пискунова–Петракова (КПП):

2.

$$\frac{\partial u}{\partial t} = \frac{\partial^2 u}{\partial x^2} + au(1-u), u(-\infty, t) = 1, u(\infty, t) = 0, \quad (1)$$

$$a \in [0, 1; 10]; k = \text{const} = 1. \quad u(x, 0) = \begin{cases} 1, & x \leq k \\ 0, & x > k \end{cases} \quad (2)$$

3. Уравнение Зельдовича–Франка–Каменецкого (задача горения):

4.

$$\frac{\partial u}{\partial t} = \frac{\partial^2 u}{\partial x^2} + au(u - \varepsilon)(1-u), 0 < \varepsilon \leq 1, \quad (3)$$

начальные и граничные условия - (1), (2).

- получите численное решение (1)-(3) методами Рунге–Куты 1-го и 4-го порядков точности;

- исследуйте сходимость численного решения по сетке;

- постройте профили  $u(x)$  в различные моменты времени.

16. Нагревание пластины лазерным излучением описывается нестационарным двумерным уравнением теплопроводности:

$$c \frac{\partial T}{\partial t} = \frac{1}{r^N} \cdot \frac{\partial}{\partial r} \left[ r^N k(T) \frac{\partial T}{\partial r} \right] + \frac{\partial}{\partial z} \left[ k(T) \frac{\partial T}{\partial z} \right] + q, \quad (1)$$

где  $T(t, r, z)$  – температура,  $c$  – коэффициент теплоемкости,  $k(T)$  – коэффициент теплопроводности,  $N=0$  в плоской и  $N=1$  в цилиндрической геометрии.

1. Начальная температура:

2.

$$T(0, r, z) = T_0 [1 + \cos(2\pi z) \cdot \cos(2\pi r)] + T_1,$$

$$T_0 = 100, T_1 = 2; k(T) = 1, c = 1, q = 1.$$

В этом случае точное решение имеет вид:

$$T = T_0 \left[ 1 + e^{-8\pi^2 t} \cdot \cos(2\pi z) \cdot \cos(2\pi r) \right] + T_1, \quad (2)$$

$$2. q = q_0 e^{-\left(\frac{z}{z_0}\right)^2}, t < \tau; q = 0, t > \tau$$

$$q_0 = 10^6 \text{ Вт/см}^2, k_0 = 5 \text{ мкм}, \tau = 100 \text{ мкс},$$

$T_0 = 300^\circ \text{ K}$ ; коэффициент поглощения возрастает от 0,05 для  $T = T_0$  до 0,15 для  $T = T_{\text{пл}}$

(температура плавления). Для железа  $c = 4 \text{ Дж} / (\text{см}^3 \cdot \text{град})$ ,  $k_T = 0,8 \text{ Вт} / (\text{см} \cdot \text{град})$  – твердая фаза;

$Q_{\text{пл}} = 2214 \text{ Дж} / \text{см}^3$ ;  $k_{\text{жс}} = 0,4 \text{ Вт} / (\text{см} \cdot \text{град})$  – расплав. Теплота плавления  $Q_{\text{пл}}$  учитывается добавлением к теплоемкости величины  $Q_{\text{пл}} / (2 \cdot \Delta T_{\text{пл}})$  при

$T_{\text{пл}} - \Delta T_{\text{пл}} < T < T_{\text{пл}} + \Delta T_{\text{пл}}$  ( $\Delta T_{\text{пл}} \approx 25 \div 50^\circ$ ). Зависимость  $c_v(T)$  представлена на рис. 1

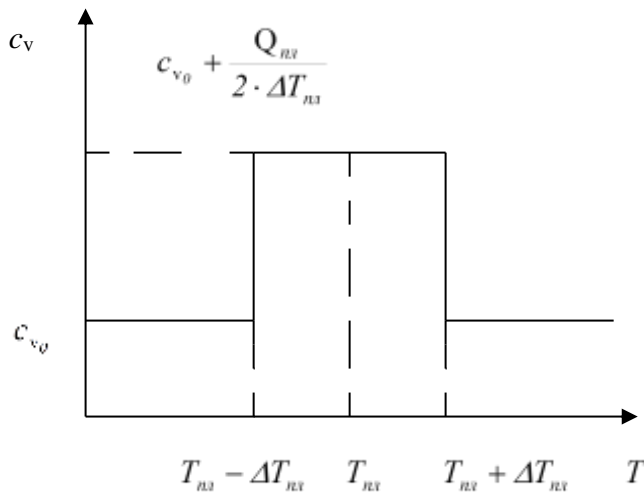


Рис.1

Число частиц, испаренных с единицы поверхности:

$$N_e = \frac{2\pi n}{kT_{\text{пл}}} v_0^3 \alpha e^{-\left(\frac{\lambda_l}{kT} + 1\right)}, \quad (4)$$

$m$  – масса молекулы,  $k$  – постоянная Больцмана,  $\lambda_l$  – энергия связи кристаллической решетки,  $v_0$  – дебаевская частота (в качестве  $\lambda_l$  выбирается работа выхода, соответствующая наиболее легко испаряемой компоненты;  $\lambda_l \approx 4,3 \text{ эВ}$ ).  $\alpha \in [0,1 \div 0,82]$  – учет обратного потока частиц.

- получить численное решение (1) с помощью явной и неявной схем;
- сопоставить решение п. 1 с точным;
- проверить сходимость решения по сетке.

**17.** Движение частицы в центрально-симметричном поле с потенциалом  $U(r)$  описывается уравнением Шредингера:

$$\Delta \Psi + \frac{2\mu}{\hbar^2} [E - U(r)] \Psi = 0, \quad (1)$$

где  $\Delta$  – оператор Лапласа в сферических координатах  $r, \Theta, \varphi$ ;  $\mu, \hbar$  – постоянные; решение ищется в виде:

$\Psi = Y_{\ell m}(\Theta, \varphi) \cdot R(r)r$ , где  $Y_{\ell m}$  – известная сферическая функция;  $\ell, m$  – целые числа.

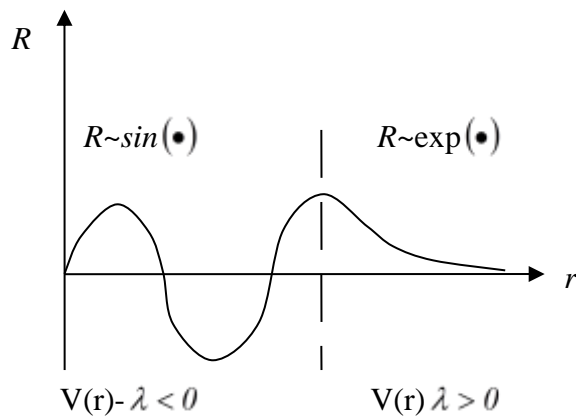
Обозначив  $\lambda = \frac{2\mu}{\hbar^2} E, V(r) = \frac{2\mu}{\hbar^2} U(r) + \frac{\ell(\ell+1)}{r^2}$ , (2)

получим задачу для определения  $R(r)$ :

$$R'' - [V(r) - \lambda]R = 0, \quad r \in [0, \infty]; \quad R(0) = 0;$$

второе граничное условие – нормировки:

$$\int_0^\infty R^2(r) dz = 1 \quad (3)$$



- получите численное решение задачи методом стрельбы. Обычно на бесконечности ставится условие  $R(r^*, \lambda) = 0$ , где  $r^*$  достаточно большое число. Из этого уравнения, методом Ньютона (или просто перебора) находим  $\lambda$ . Положим, что при  $\lambda = \lambda_1 - R(r^*, \lambda) > 0$ , при

$\lambda = \lambda_2 - R(r^*, \lambda) < 0$ ; тогда выбираем  $\lambda = \frac{\lambda_1 + \lambda_2}{2}$  и т.д. Какие трудности встретились при численной реализации метода стрельбы?

- получите численное решение задачи методом трехточечной прогонки;

- исследуйте сходимость решения по сетке;

- получите численные решения для нескольких  $\lambda_i (i = 1 \div 5)$ ;

### 18. Для численного решения краевой задачи ОДУ

$$\frac{\partial^2 u}{\partial x^2} = f(u), \quad u(0) = U_1, \quad u(L) = U_2 \quad (1)$$

воспользуйтесь тремя вариантами трехточечной прогонки (предварительно получив прогоночные соотношения):

- прямая прогонка (слева направо);
- обратная (справа налево)
- встречные прогонки

$$f(u) = e^{\alpha u}; f(u) = \sin(\omega u) \quad (2)$$

Пусть в (1) краевые условия являются периодическими. Получите формулы для трехточечной периодической прогонки и численно решите (1).

Исследуйте поведение численного решения в зависимости от параметров  $\alpha$  и  $\omega$  в (2) (для п.1).

Для аппроксимации краевой задачи

$$u_x^{IV} = f(x), x \in [0, L], u(0) = 0, u(L) = 0, u'(0) = 1, u'(L) = 1, f(x) = \text{const} \quad (3)$$

получите формулы пятиточечной прогонки и численно решите (3).